

Rys. 1-715. GD242

**Typ tranzystora:** tranzystor germanowy

**Firma:** RFT

**Wykonanie:** tranzystor germanowy stopowy *p-n-p* w obudowie metalowej, ciężar około 12 G

**Zastosowanie:** wzmacniacze stopni wyjściowych, parowane do układów przeciwobnych m.cz., układy przełączające do 48 V

**Typy podobne:** 4NU73 (Tes), 2N1039, 2N1043 (TY, Mot), 2N2659, 2N2668 (TY), SFT214, T239 (Buł), П4АА, Г4ГА, P4ДА (ZSRR) 2SB338 H, 2SB471 (Hit)

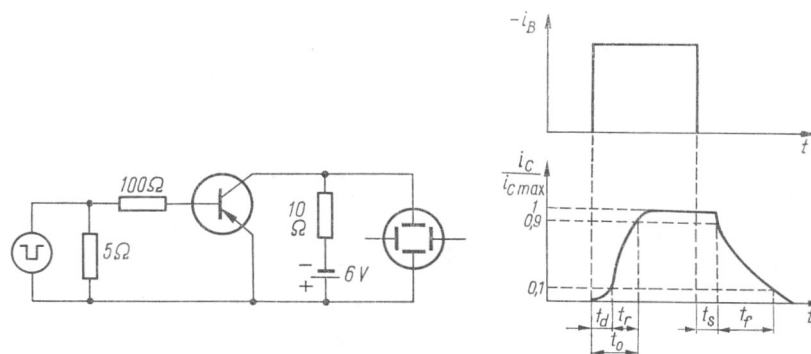
#### Wartości charakterystyczne

	min	typ	max		
$-I_{CBO}$		35	100	$\mu\text{A}$	przy $-U_{CB} = 6\text{ V}$
$-I_{CES}$		0,5	2,5	mA	przy $-U_{CE} = 50\text{ V}$
$-I_{CEV}$		0,06	1	mA	przy $-U_{CE} = 30\text{ V}$ , $U_{BE} = 1\text{ V}$
$-I_{EBO}$		50	500	$\mu\text{A}$	przy $-U_{EB} = 20\text{ V}$
$-U_{CE\text{ sat}}$		0,25	0,6	V	przy $-I_B = 0,5\text{ A}$ , $-I_C = 3\text{ A}$
$-U_{BE}$		0,35	0,7	V	przy $-U_{CE} = 6\text{ V}$ , $-I_C = 0,5\text{ A}$
$-U_{BE}$		0,75	1,4	V	przy $-U_{CE} = 2\text{ V}$ , $-I_C = 2\text{ A}$
$h_{21E}$ (A)	18		35		} przy $-U_{CE} = 2\text{ V}$ , $-I_C = 2\text{ A}$
(B)	28		56		
(C)	45		90		
(D)	71		140		
$h_{21E}$	40				przy $-U_{CE} = 6\text{ V}$ , $-I_C = 0,5\text{ A}$
$h_{21E}(2,0\text{ A})$		0,5			przy $-U_{CE} = 2\text{ V}$ , $-I_C = 2\text{ A}$ , $-I_C = 0,5\text{ A}$
$h_{21E}(0,5\text{ A})$					
$\frac{I_{B1}}{I_{B2}}$	0,833		1,2		przy $I_{B1}$ : $-U_{CE} = 6\text{ V}$ , $-I_C = 0,5\text{ A}$ $I_{B2}$ : $-U_{CE} = 2\text{ V}$ , $-I_C = 3\text{ A}$
$\frac{U_{BE1}}{U_{BE2}}$	0,833		1,2		przy $-U_{CE} = 2\text{ V}$ , $-I_C = 3\text{ A}$
$f_T$ (A)	250	300		kHz	} przy $-U_{CE} = 6\text{ V}$ , $-I_C = 0,1\text{ A}$
(B)	300	450		kHz	
(C)	350	500		kHz	
(D)	400	600		kHz	
$t_{ON}$		20	40	$\mu\text{s}$	
$t_s$		5	10	$\mu\text{s}$	
$t_f$		6	12	$\mu\text{s}$	
$m$		3			

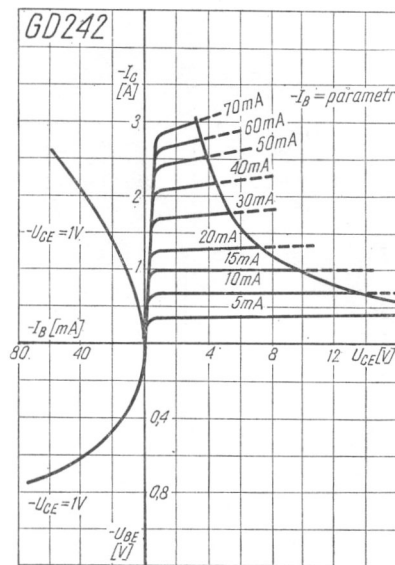
Wartości graniczne

$-U_{CBO\ max}$	50	V	$I_E\ max$	3,6	A
$-U_{CER\ max}$	48 <sup>1)</sup>	V	$-I_B\ max$	0,6	A
$-U_{CES\ max}$	50	V	$t_j\ max$	+85	°C
$-U_{EBO\ max}$	20	V	$t_{amb}$	-25 ÷ +65	°C
$P_{tot\ max}$	10	W	$R_{th\ j-c\ max}$	4	°C/W
$-I_C\ max$	3,0	A			

<sup>1)</sup>  $R_{BE} = 50\ \Omega$



Rys. 1-716. Układ pomiarowy czasów przełączania



Rys. 1-717. Charakterystyki statyczne

